

Fig. 6.1 Burgess's concentric zone model.
Source: Park, Burgess and McKenzie, 1925.

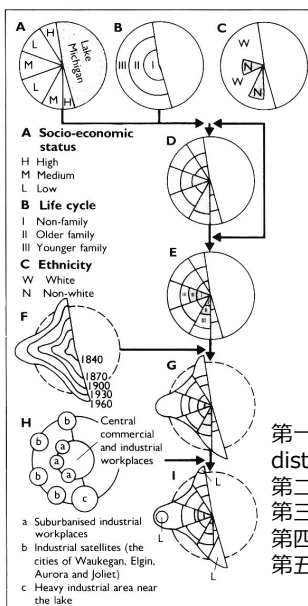


Fig. 6.12 The social geography of Chicago.
Source: Berry and Rees, 1969.

バージェスの同心円地帯モデル

- 第一地帯・・・central business district 中心業務地区
- 第二地帯・・・漸移地帯
- 第三地帯・・・労働者住宅地帯
- 第四地帯・・・優良住宅地帯
- 第五地帯・・・通勤者住宅地帯

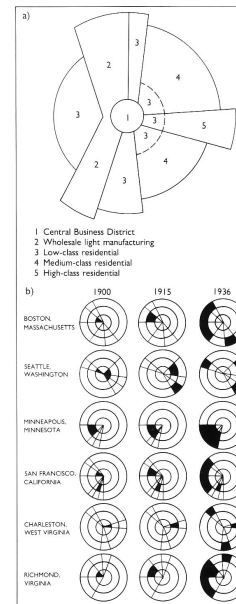


Fig. 6.2 Sector model. Source: Hoyt, 1939.
a) Hoyt's sector model.
b) The sectoral movement of the most desirable residential areas in six American cities.

ホイトの扇形（せんけい）モデル

1. CBD
2. 卸売・軽工業地帯
3. 低級住宅地区
4. 中級住宅地区
5. 高級住宅地区

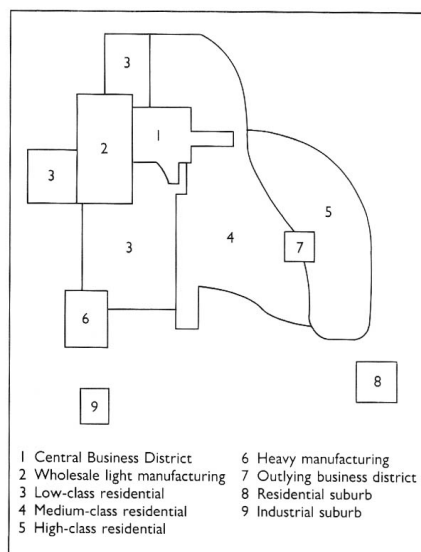


Fig. 6.3 Multiple nuclei model.
Source: Harris and Ullman, 1959.

ハリス・アルマンの多核心モデル

1. CBD
2. 卸売・軽工業
3. 低級住宅
4. 中級住宅
5. 高級住宅
6. 重工業
7. 周辺商業地区
8. 郊外住宅
9. 郊外工業地区

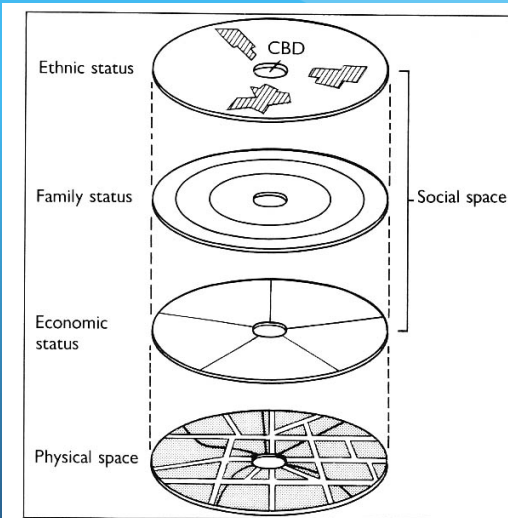


Fig. 6.5 The residential structure of the North American city, based on factorial ecology of Toronto.
Source: Murdie, 1969.